ESCUELA DE DOCTORADO
UNIVERSIDAD COMPLUTENSE DE MADRID

UNIVERSIDAD COMPLUTENSE MADRID

FACULTAD DE ÓPTICA Y OPTOMETRÍA (UCM)

4ª Edición PhDAY Complutense - FOO

15 de Octubre de 2020

+Visión

OCUPHARM diagnostics

essilor

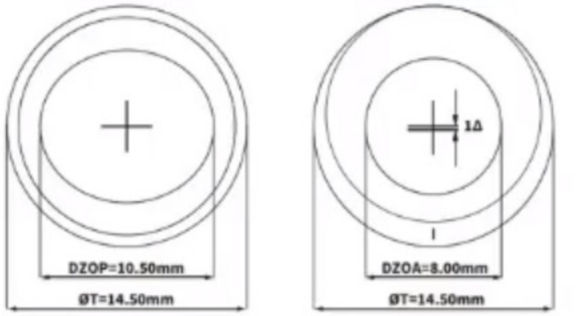
PRATS


inauguracion.mp4
0:08 / 24:30

Introducción

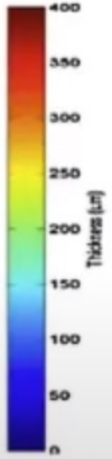
Dynamic stabilization system in lathed soft toric contact lenses - Prototype

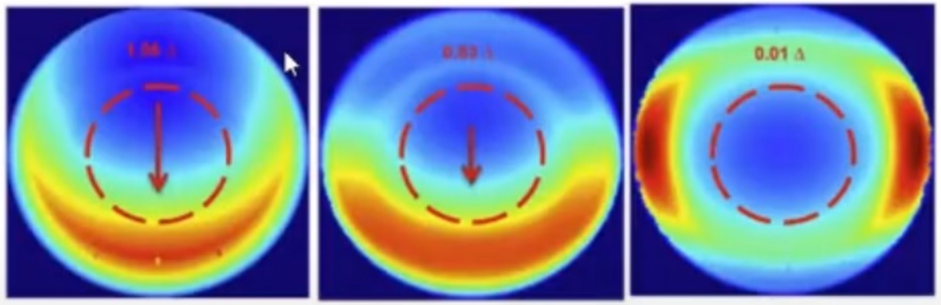
Cara interna



Cara externa







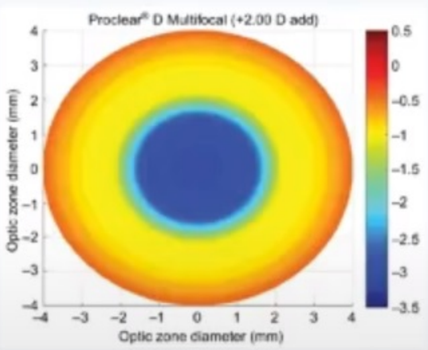


Sulley A, Hawke R, Lorenz KO, Toubouti Y, Olivares G. Resultant vertical prism in toric soft contact lenses. Contact Lens Anterior Eye. 2015;38(4):253–7.
Jinabhai AN. Customised aberration-controlling corrections for keratoconic patients using contact lenses. Clin Exp Optom. 2019;1–13
Momeni-Moghaddam H, Naroo SA, Askarizadeh F, Tahmasebi F. Comparison of fitting stability of the different soft toric contact lenses. *Cont Lens Anterior Eye*. 2014;37(5):346-350. doi:10.1016/j.clae.2014.05.003

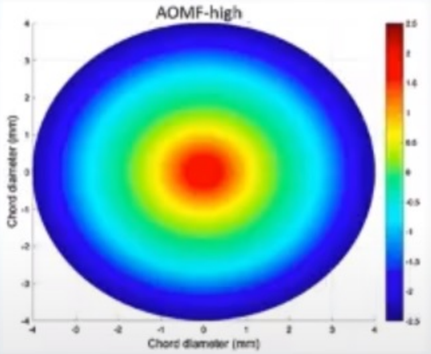


INTRODUCCIÓN

Lentes multifocales de visión simultánea → más adaptadas



CD (Centro-lejos)

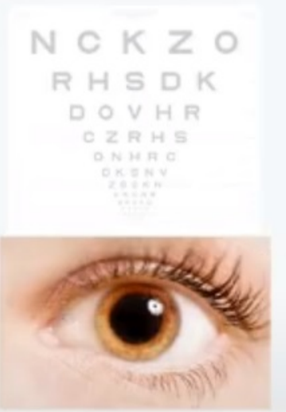


CN (Centro-cerca)

Tilia D, Munro A, Chung I, et al. Short-term comparison between extended depth-of-focus prototype contact lenses and a commercially-available center-near multifocal. J Optom. 2017;10(1):14-25

Frecuentemente asociadas con disfotopsias que afectan a la calidad de visión



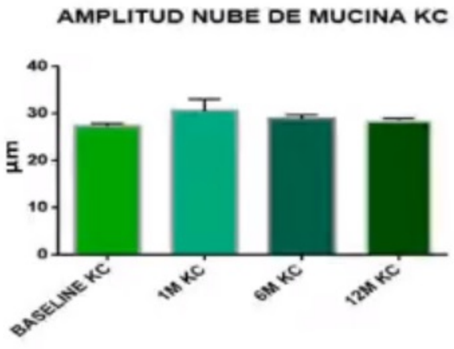


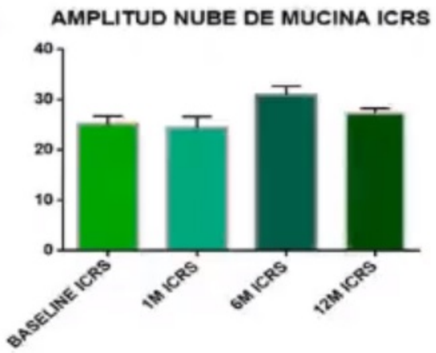
PhDay

McAlinden C, Pesudovs K, Moore JE. The development of an instrument to measure quality of vision: the Quality of Vision questionnaire. Invest Ophthalmol Vis Sci. 2010;51(11):5537-45



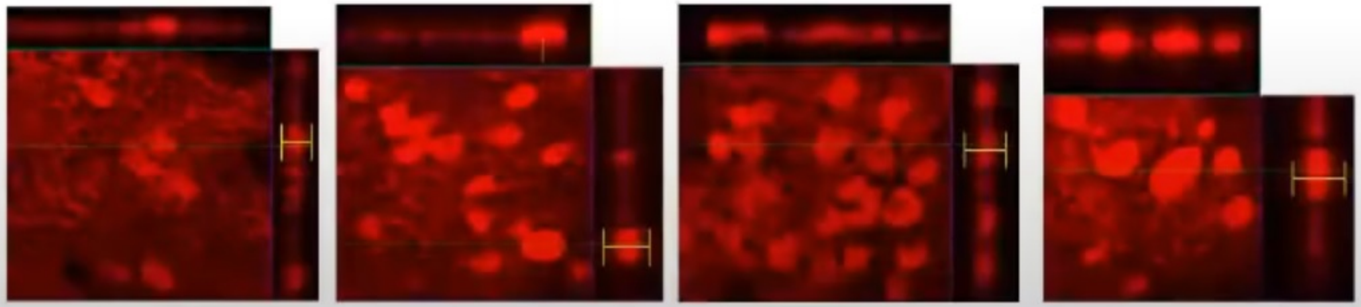
RESULTADOS







Evolución de la amplitud celular Goblet para el grupo POSTCR





Pulsa Esc para salir del modo de pantalla completa

Información PhDAY FOO - miser | Meet - SALA A - PhDAY-FO

https://meet.google.com/ktq-crjr-frj?authuser=0

GRABANDO

Estás presentando

Cristina Bautista Tri... y 35 más

47

16:10

Presentación (Tú)

Tú

Estás presentando para todos

Dejar de presentar

MARIA JESUS PEREZ CARRASCO

Antonio Martin

ANGEL GUTIERREZ HERNANDEZ

I

IRENE MARTINEZ ALBERQUILLA

E

ELENA DURAN PRIETO

M

MARIA GARCIA MONTERO

R

Raquel Calderón Garcia

Carolina Castillo

Diana Correa Ellis

ESP

16:10

15/10/2020



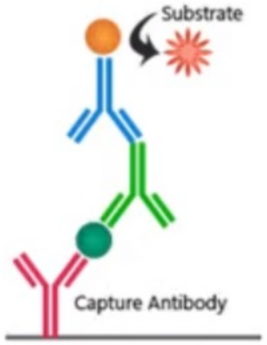
Pulsa Esc para salir del modo de pantalla completa



MÉTODOS

- La presencia de Anexina se evaluó con inmunofluorescencia y microscopía confocal.
- Usamos **WESTERN BLOT** para analizar los cambios de expresión y secreción de Anexina A1 tras generar un **modelo de enfermedad de ojo seco in vitro**, exponiendo a las células corneales y conjuntivales humanas a hiperosmolaridad.
- Se analizó la actividad antiinflamatoria cuantificando por **ELISA** la **IL1 β**. Observando las diferencias entre la exposición hipersalina y dicha exposición junto al tratamiento con un péptido mimético de anexina A1.





ELISA SANDWICH



meet.google.com está compartiendo tu pantalla. Dejar de compartir Ocultar

Introducción

La MELATONINA es una NEUROHORMONA sintetizada principalmente en la glándula pineal

Retina, iris, cuerpo ciliar, cristalino y glándula lagrimal

- Cicatrización corneal
- Disminución de la PIO
- **ANTIOXIDANTE**





MATERIAL Y MÉTODOS

PARÁMETROS LAGRIMALES



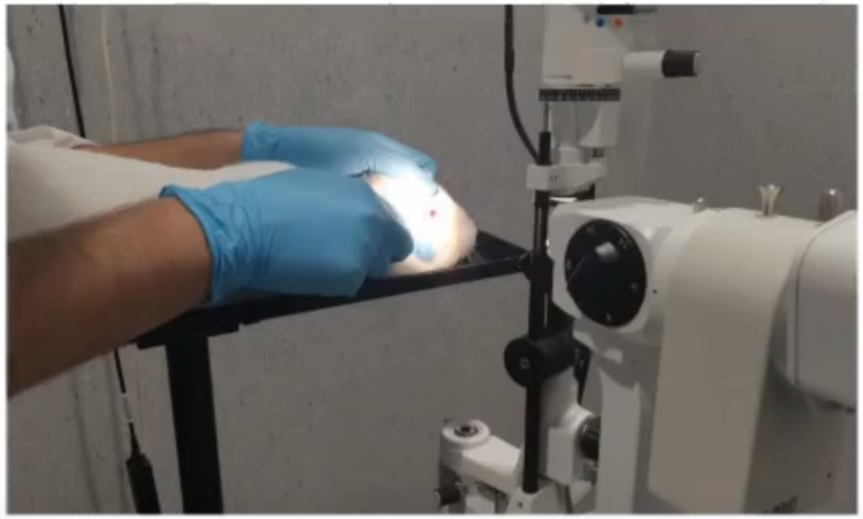


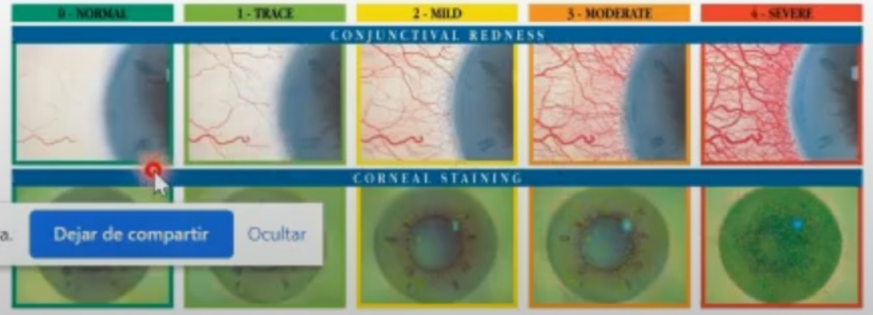
Osmolaridad lagrimal

- 50 nL
- 18ºC
- 1º OD, 2º OI

meet.google.com está compartiendo tu pantalla. Dejar de compartir Ocultar

BIOMICROSCOPÍA







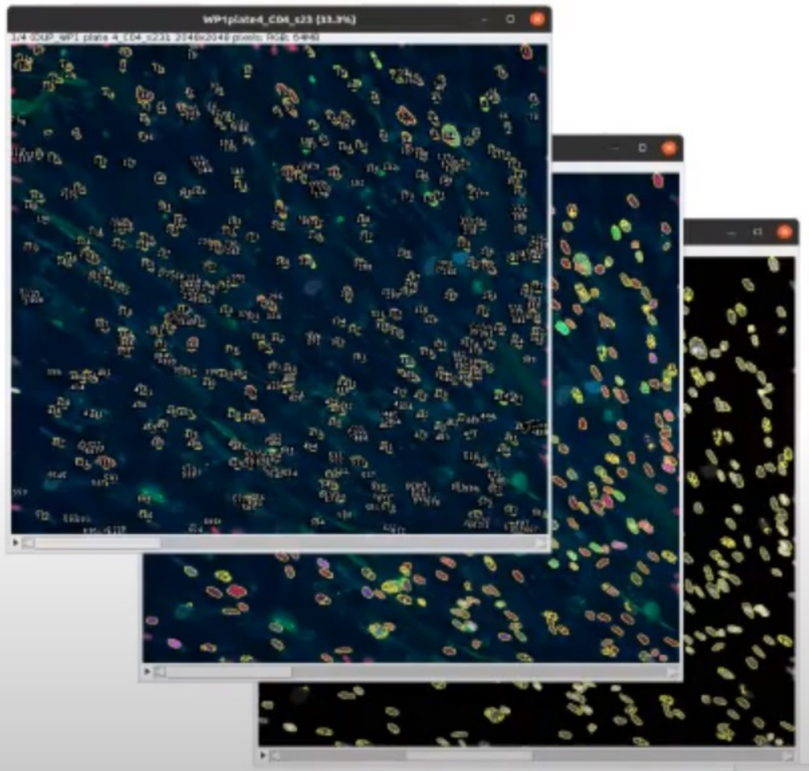
Subtítulos (c)


SALA B - PhDAY-FOO (ORAL 1) (2020-10-15 at 06:30 GMT-7)
MARINA MERCEDES MOLINA SANTOS
25:35 / 45:59

Cell-Type Analyzer

Channel 1 : Detección, Cuantificación y Caracterización de Núcleos

-**Column Sorter**: cuando el **encabezado** de cualquier **columna** es clickeado la dirección es **ascendente** y si se clickea de nuevo, **descendiente**.





Cell Counting Settings:

-**Auto Threshold Methods:** Binariza **8-16 bit** imagenes usando varios métodos de **threshold globales**.

Default, Huang, Huang2, Intermodes, Li, MaxEntropy,Mean, Otsu...

-**Single-Molecule Table:**

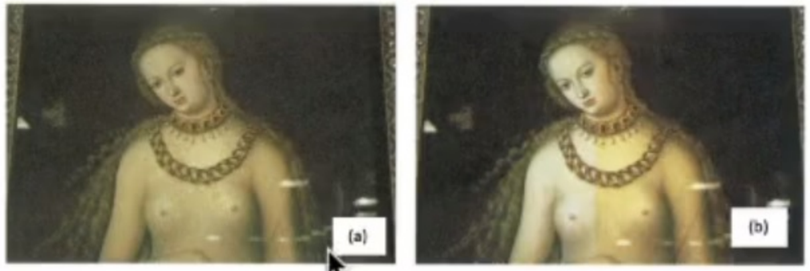
Area, Mean, StdDev,Mode, Min, Max, X, Y, XM, YM, Perim., BX, BY, Width, Height, Major, Minor, Angle, Circ., Ferret...

-**Summary for Channel:** Muestra un **sumario** con la **cuantificación total** de células detectadas • **valor medio** de cada uno de los parámetros medida para el total de células



meet.google.com is sharing your screen. Stop sharing Hide

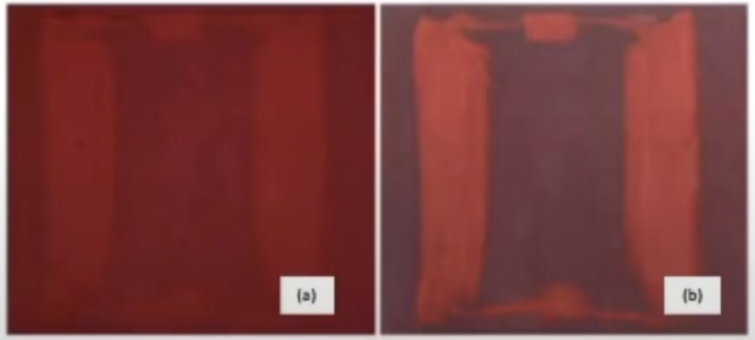
Introducción: RESTAURACIÓN FOTÓNICA



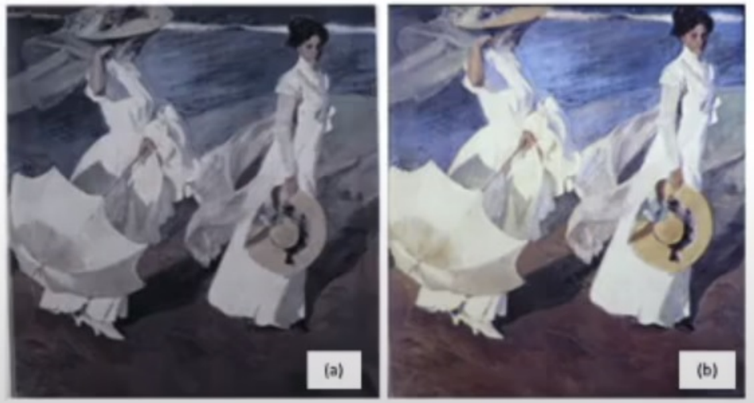
(a) "Venus" de Lucas Cranach el Viejo, **(b)** restauración virtual por Lafontaine (1986)

Restauración fotónica

Mejora de la visualización de una obra de arte de manera reversible mediante la proyección de una máscara luz optimizada.



Murales de Mark Rothko **(a)** original y **(b)** restaurado. Stenger et al (2016)



(a) Fotografía de "Paseo a orillas del mar" de Sorolla envejecida artificialmente, **(b)** restauración virtual por Vázquez et al. (2020)

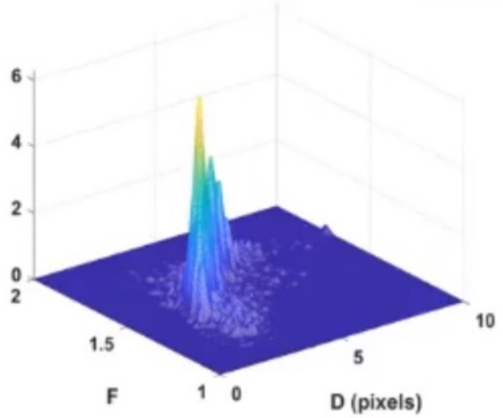


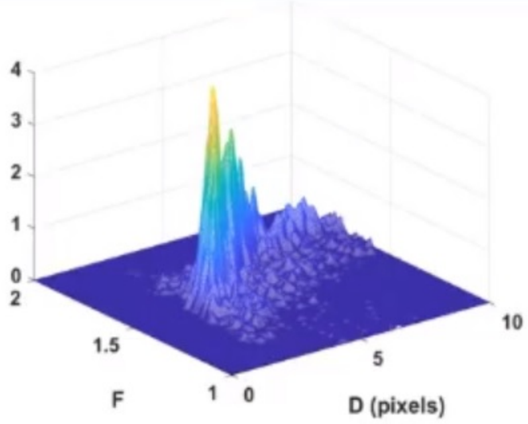
UNIVERSIDAD COMPLUTENSE MADRID

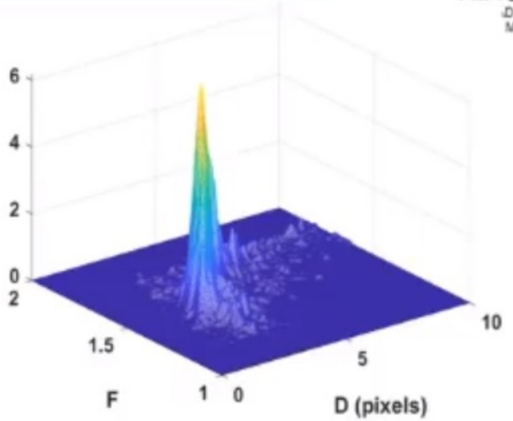
ESCUELA DE DOCTORADO
UNIVERSIDAD COMPLUTENSE DE MADRID

Resultados de las distribuciones conjuntas Diámetros-Fractales

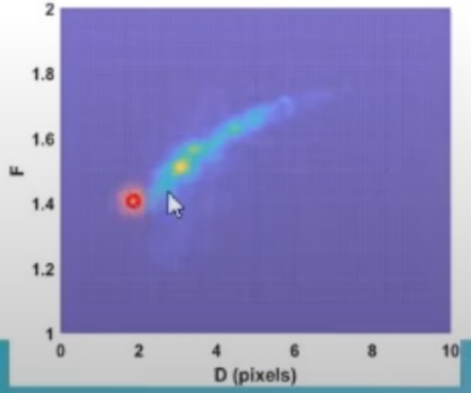
FACULTAD DE ÓPTICA Y OPTOMETRÍA
UNIVERSIDAD COMPLUTENSE MADRID



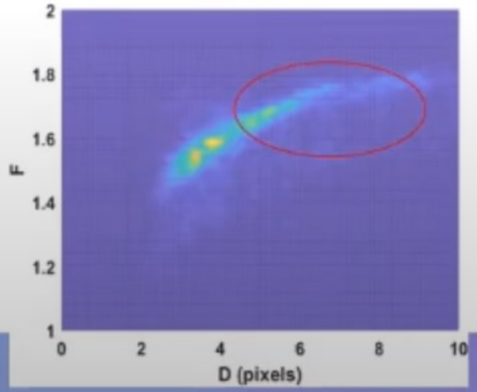




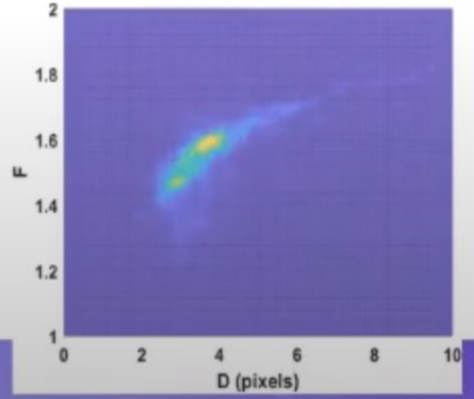
Retina Sana



RD



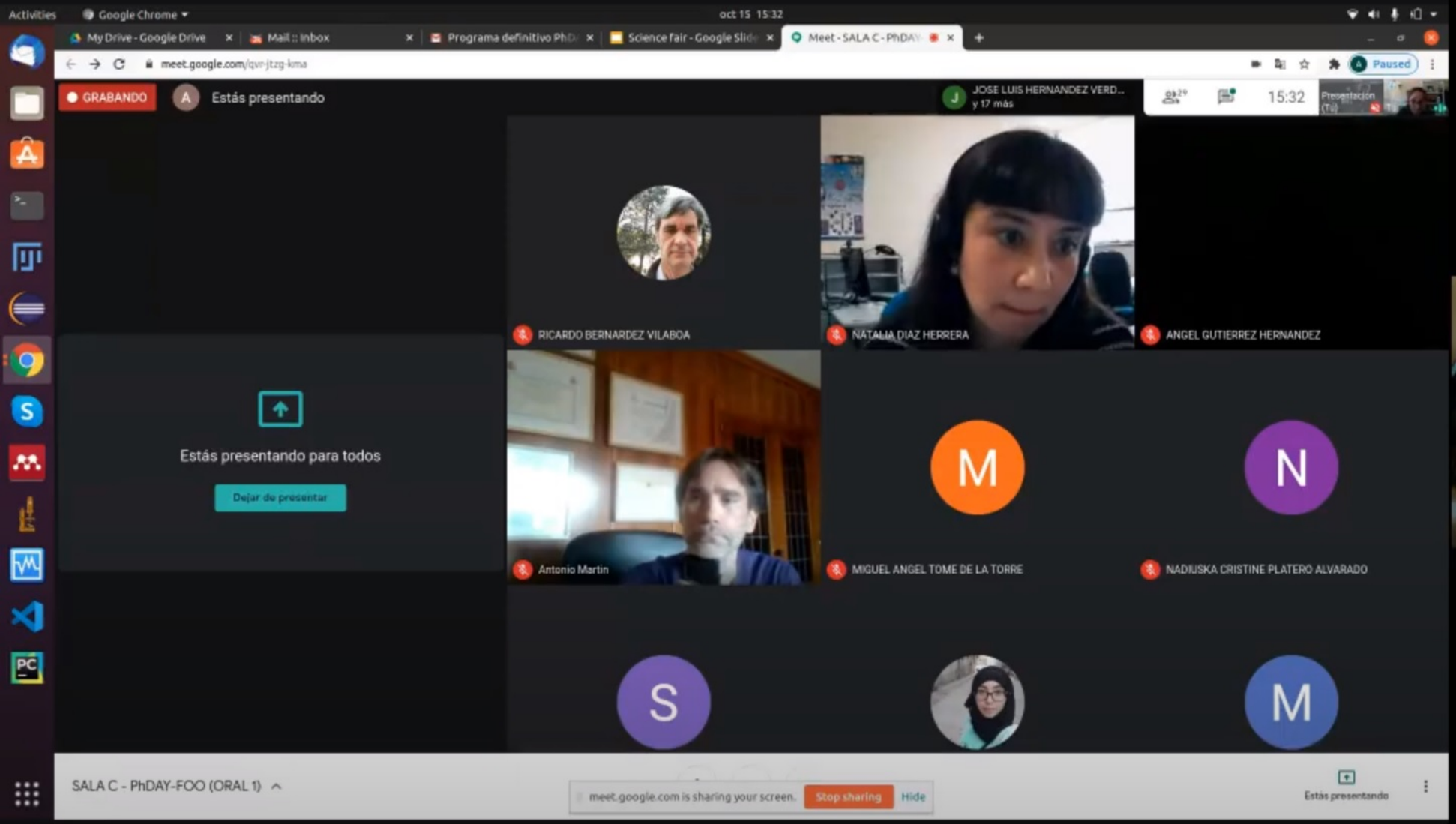
Glaucoma



18



SALA C - PhDAY-FOO (ORAL 1) (2020-10-15 at 06:31 GMT-7)





1:27

1:30 / 1:00:19

RESULTADOS

Estadística Descriptiva	
Número de ojos evaluados	24
Edad pacientes (años)	35,79±9,86
Sexo	41% H y 59% M
Esfera pre-op	-2,69±0,9D
Astigmatismo pre-op	-0,38±0,4D
Tiempo quirúrgico	56,88±7,6 seg

Tabla resumen de las características de la muestra.

No se obtuvieron diferencias estadísticamente significativas (24 horas vs 1 mes postoperatorio) en los registros pERG en ninguna de las variables analizadas, salvo al comparar el valor de Magnitud en bajo contraste que aumentó de 1,21±0,2 µV (24 horas) a 1,39±0,29 µV (1 mes) (p=0.03).

CONCLUSIONES

La realización de un Femto-LASIK parece inducir un leve y transitorio defecto en la función de las células ganglionares retinianas.

Únicamente detectamos una leve disminución en la amplitud de los valores de Magnitud para estímulos de bajo contraste en el pERG a las 24 horas de la cirugía, que se recupera un mes.

BIBLIOGRAFÍA

1. Bolivar G, Garcia-Gonzalez M, Laucirika G, Villa-Collar C, Teus MA. Intraocular pressure rises during laser in situ keratomileusis: Comparison of 3 femtosecond laser platforms. J Cataract Refract Surg. 2019;45(8):1172-6.

2. Katsanos A, Arranz-Marquez E, Cañones R, Lauzirika G, Rodríguez-Perez I, Teus MA. Retinal nerve fiber layer thickness after laser-assisted subepithelial keratomileusis and femtosecond LASIK: a prospective observational cohort study. Clin Ophthalmol. 2018;12:1213-8.



SALA D - PhDAY-FOO (PÓSTER) (2020-10-15 at 08:04 GMT-7)

5 - Navarro Gil, Francisco Javier - Póster.pdf

Abrir con Documentos de Google

Estudio in vitro de liberación de secretagogos lagrimales melatoninérgicos mediante lentes de contacto

FACULTAD DE ÓPTICA Y OPTOMETRÍA

UNIVERSIDAD COMPLUTENSE MADRID

Justificación

Se ha demostrado que las lentes de contacto (LC) son un medio eficaz para la liberación de fármacos en diferentes patologías oculares [1][2]. Recientemente se ha descrito que los análogos de la melatonina incrementan la secreción lagrimal, pero no la melatonina y se han propuesto como alternativa terapéutica en el tratamiento de la enfermedad de ojo seco [3].

Objetivos

Valorar la capacidad de liberación de lentes de contacto de diferentes materiales y potencias, de los análogos de la melatonina, Agomelatina, IIK7 y 5-MCA-NAT, en un medio salino (in vitro) y analizar las diferencias encontradas.

Materiales y Métodos

- Se utilizaron para el estudio LC de materiales POLY-HEMA38 (Veraflex T®), Comfilcon-A (Biofinity®), Balafilcon-A (PureVision2®), Omafilcon-B (Proclear®), Stenfilcon-A (MyDay®) de potencias (0,00/-0,25 y -2,00) con n =1 en todos los casos.
- Se prepararon diluciones de Agomelatina, IIK7 y 5-MCA-NAT en suero salino en concentración 1mM al 1% en DMSO.
- Las lentes se incubaron durante 12 horas en pocillos individuales, con un volumen de1ml de cada una de las diluciones de los análogos de melatonina.
- Tras la incubación, se extrajeron las lentes eliminando el exceso de solución y se introdujeron en pocillos individuales con un volumen de 1ml de suero salino.
- La concentración liberada se midió por espectrofotometría con Power Wave XS2 (Biotek) de una muestra de 200 µl extraída de los pocillos post incubación, depositados en una placa de cuarzo, que posteriormente fue restituido al pocillo, a los 5, 15, 30, 60, 120, 180, 240 y 360 min. en todos los casos.
- Los picos de absorvancia estudiados fueron de λ= 275 nm para la Agomelatina, λ= 220 nm para el IIK7 y λ= 230 nm para el 5-MCA-NAT.

Resultados



El servidor ha detectado un error. Inténtalo de nuevo más tarde.

Página 1 de 2

FRANCISCO JAVIER NAVARRO GIL

8:45 / 23:42

Efectos del tratamiento del trastorno bipolar sobre la película lagrimal.

Rodríguez-Alonso X[1], Gutiérrez-Jorrín S[1] , Bonnin-Arias C[1], Sánchez-Ramos C[1]
1 Universidad Complutense de Madrid
Contacto: xabierro@ucm.es

INTRODUCCIÓN

Los trastornos bipolares de los tipos I y II afectan aproximadamente al 2% de la población mundial y las formas subliminales del trastorno afectan a otro 2%. Incluso con tratamiento, aproximadamente el 37% de los pacientes recaen en la depresión o la manía durante 1 año y el 60% después de 2 años, lo que la convierte en una enfermedad de tratamiento compleja y crónica. (1,2,3)

A pesar de una expansión sustancial de la investigación sobre el trastorno bipolar y los posibles tratamientos durante las últimas dos décadas, el progreso real ha sido escaso. El desarrollo de tratamientos efectivos para el trastorno bipolar se ve obstaculizado por el escaso conocimiento de los mecanismos básicos de la enfermedad y la consiguiente ausencia de dianas farmacológicas validadas y modelos de fármacos experimentales en humanos o animales poco convincentes.

Esta situación en su conjunto ha llevado a una limitación de la investigación sobre aspectos de estos tratamientos como los efectos secundarios sobre el sistema visual y más concretamente sobre la película lagrimal.

MATERIAL Y MÉTODOS

La muestra estuvo formada por 42 sujetos que se ofrecieron como voluntarios entre las edades de 21 y 69 años (media y desviación estándar: 45,93 y 11,32 años) sin enfermedad ocular aparente y un grupo control de 36 sujetos. entre 21 y 75 años (media y desviación estándar: 51,83 y 17,98 años).

El tiempo de rotura de la lágrima y las mediciones de la composición de la película lagrimal se evaluaron con el Keratograph 5M (Oculus Optikgeräte GmbH, Wetzlar, Alemania).

OBJETIVO

Conocer el estado de la superficie ocular de personas tratadas con psicofármacos y compararlas con individuos control del mismo rango de edad sin tratamiento psiquiátrico.

RESULTADOS

Al comparar las medias del primer tiempo de ruptura lagrimal (BUT1) no existen diferencias significativas entre el grupo de estudio y el grupo de control para ninguno de los dos ojos. Sin embargo, el grupo de control de mujeres está cerca de presentar diferencias significativas en comparación con el grupo de estudio en el tiempo medio de rotura lagrimal (BUT2).

En cuanto a la composición lipídica de la lágrima, existen diferencias significativas entre el grupo de control y el grupo de estudio tanto en el ojo derecho como en el izquierdo, con p-valores de 0,0015 y 0,0016, respectivamente.

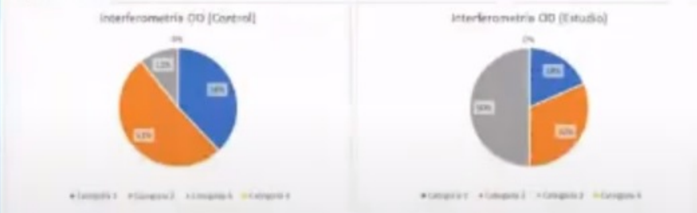


Figura 1. Los gráficos muestran los resultados obtenidos para la variable de interferometría en ambos ojos y ambos grupos por separado. Cada color representa uno de los cuatro posibles de composición lagrimal, siendo el azul la categoría 1 (lípidos en equilibrio), el naranja la categoría 2 (gran abundancia de lípidos), gris la categoría 3 (déficit suave de lípidos) y amarillo la categoría 4 (déficit importante de lípidos).

Tabla 1. Resultados del BUT medio (BUT2) en segundos en función del sexo donde se observan p-valores cercanos a la significancia estadística entre el grupo control y el de estudio para las mujeres.

BUT2 (s)			
OD	Hombres ($\bar{x}\pm\sigma$)	Mujeres ($\bar{x}\pm\sigma$)	p-valor
Control	15.88 ± 8.12	11.95 ± 5.31	0.1377
Estudio	14.43 ± 6.31	14.93 ± 6.01	0.8282
p-valor	0.666	0.1328	

BUT2 (s)			
OI	Hombres ($\bar{x}\pm\sigma$)	Mujeres ($\bar{x}\pm\sigma$)	p-valor
Control	10.74 ± 6.81	11.01 ± 5.32	0.9035
Estudio	12.85 ± 6.89	14.12 ± 6.17	0.5809
p-valor	0.3925	0.1298	

CONCLUSIONES

La medida del tiempo de lágrima valorada con BUT1 y BUT2 no presentó diferencias estadísticamente significativas entre el grupo de control y el grupo de estudio.

La composición de la lágrima evaluada por interferometría muestra claramente una peor composición de lágrimas en el grupo de sujetos en tratamiento.

BIBLIOGRAFÍA

1. Merikangas KR, Akiskal HS, Angst J, et al. Lifetime and 12-month prevalence of bipolar spectrum disorder in the National Comorbidity Survey replication. Arch Gen Psychiatry 2007; 64: 543-52.
2. Merikangas KR, Jin R, He JP, et al. Prevalence and correlates of bipolar spectrum disorder in the world mental health survey initiative. Arch Gen Psychiatry 2011; 68: 241–51.
3. Gitlin MJ, Swendsen J, Heller TL, Hammen C. Relapse and impairment in bipolar disorder. Am J Psychiatry 1995; 152: 1635–40.




SALA D - PhDAY-FOO (PÓSTER) (2020-10-15 at 08:04 GMT-7)
MIGUEL ANGEL MUÑOZ SANZ
0:46 / 23:42

SALA D - PhDAY-FOO (PÓSTER) (2020-10-15 at 08:04 GMT-7)

7 - Rodríguez Pomar, Candela - Póster.pdf

Abrir con Documentos de Google

IN VIVO CHANGES IN WETTABILITY OF HYDROPHILIC CONTACT LENSES AFTER AN ALOE VERA – HPMC BASED ARTIFICIAL TEAR DROP INSTILLATION

Candela Rodríguez Pomar [1], Cristina Pastrana Robles [1], Carlos Carpena Torres [1], María Sorrosolo Blanco [1], Alejandro Martínez Águila [1], Alba Martín Gil [1], Juan Gonzalo Carracedo Rodríguez [1]
[1] Department of Optometry and Vision. Faculty of Optics and Optometry.Universidad Complutense de Madrid. Madrid, Spain.
[2]R&D Department, Avizor S.A
[3]Department of physics condensed matter. Faculty of Pharmacy. Universidad de Sevilla. Spain

INTRODUCTION

The abandonment of the use of contact lenses happens for different reasons. Discomfort is the main reason and is usually associated with ocular dryness symptoms.[1] On the other hand, the contact lenses wettability also plays an important role. Poor wettability of contact lenses affects the interaction between the tear film and the lens material causing discomfort.[2]

PURPOSE

The purpose of this study was to analyze the influence of an artificial tear drop based on Aloe vera and hydroxypropylmethylcellulose on the wettability of the surface of hydrophilic contact lenses.

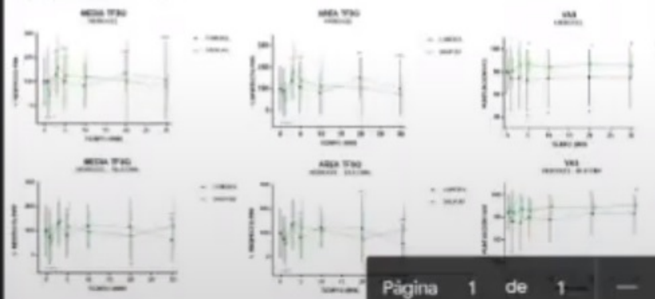
METHODS

30 eyes of 15 healthy volunteers (25.25 ± 3.03) were evaluated before and after instillation of the moisturizing solution. Each subject put on an hyosophilic contact lens (ocuflilcon D) in one eye and another silicone hydrogel contact lens (somofilcon A) in the other, chosen randomly. After 20 minutes of wear, the wettability of the contact lens surface in vivo was analyzed with the corneal topographer (Medmont E300) through the measurement of the Tear Film Surface Quality coefficients (TFSQ mean) (TFSQ area). The study solutions were a saline solution (control) and a solution based on Aloe vera and hydroxypropylmethylcellulose. Measurements of the TFSQ mean and TFSQ area parameters were made at 1, 2, 5, 10, 20 and 30 minutes after instillation. Furthermore, subjective comfort was assessed with the VAS (Visual Analogue Scale) test.

RESULTS

No statistically significant differences were observed regarding the baseline values of the TFSQ mean and the TFSQ area up to minute 3 for the hydrogel contact lens (ocuflilcon D) ($p=0.902$) and minute 5 for the silicone hydrogel lens (somofilcon A) ($p=0.029$). In the case of the ocuflilcon D material, there was a slight increase in the TFSQ values, interpreted as a dehumidification in the initial time. However, for somofilcon A material, a significant decrease occurred at 5 minutes in the TFSQ area values.

On the other hand, after instillation of the moisturizing solution with Aloe vera and hydroxypropylmethylcellulose, both the mean TFSQ and the TFSQ area decreased significantly, keeping the surface of the contact lens more moisturized during the initial 3 minute for the hydrogel material (ocuflilcon A) ($p < 0.001$) and during the first minute for the hydrogel – silicone lens (somofilcon A) ($p < 0.001$). However, in the latter case, the wetting parameters were kept below the initial values during the 30 minutes of wearing.



CONCLUSION

The moisturizing solution based on Aloe vera and hydroxypropylmethylcellulose is effective in moisturizing contact lenses. Among the materials studied, better wettability results were obtained with the hydrogel-silicone contact lens material.

REFERENCES

References:
[1] García-Resúa C, Santodomingo-Rubido J, Lira M et al. Clinical assessment of the lower tear meniscus height. Ophthalmic Physiol Opt 2010;29:487-496.
[2] Holly FJ. Physical chemistry of the normal and disordered tear film. Trans Ophthalmol Soc U K. 1985; 104 (Pt 4): 374-380.

Página 1 de 1

Candela Rodríguez Pomar

19:55 / 23:42

Vista Previa Archivo Edición Visualización Ir Herramientas Ventana Ayuda — Jue 15 oct 17:04

REP JOVENES PhDAY 2020 (1 página)

Buscar

d de la desviación ocular pero no en una muestra de jóvenes tan amplia y con los 4 test llevados a estudio en esta investigación tanto en visión de lejos como en cerca [4,5].

ESIS

metodología de las pruebas utilizadas notoriamente diferentes, se partía de la hipótesis que **no se espera que sean intercambiables y presenten distinta repetibilidad**.

IAL Y MÉTODOS

oria en visión de lejos (6 metros) y en cerca (40 cm) con **gafa de prueba**, fue cuantificada en **dos sesiones** (separadas 1 semana) en 110 sujetos (varones = 20, mujeres = 90) de 18 a 25 años (media = 19,24 años; DE = . El rango de ametropías fue de -0,25 a -11,00 D de miopía, de +0,25 a +6,00 D de hipermetropía, hasta -4,00 D de astigmatismo. Los cuatro test utilizados fueron el **Cover test, Von Graefe, varilla de Maddox y n modificado**. La repetibilidad de las pruebas y el acuerdo entre ellas se estimó mediante el método de **Bland y Altman** [6], donde se determinó la diferencia de medias y los límites de acuerdo del 95% para calcular el de repetibilidad (**CDR**) y el coeficiente de concordancia (**CDC**).

TADOS

a los CDR, destacamos que en todas las técnicas estudiadas dicho coeficiente fue menor al aplicar los tests en na, respecto a visión de cerca. Los CDR van de ±1,58 Δ a ±4,07 Δ en lejos y de ±3,31 Δ a ±5,56 Δ en cerca. El t mostró la mejor repetibilidad intraexaminador en visión de lejos (CDR = ±1,58 Δ) y en cerca (CDR = ±3,31 Δ). a la concordancia entre pares de pruebas, el Cover test y Thorington modificado mostraron el mejor acuerdo, nor coeficiente de concordancia tanto en lejos (±2,99 Δ) como en cerca (±3,87 Δ).

epetibilidad Intraexaminador en Jóvenes

TEST / DM ± CDR		
LEJOS		CERCA
0,18 ±1,58 Δ	CT	-0,14 ±3,31 Δ
0,38 ±2,78 Δ	VG	0,11 ±3,90 Δ
0,81 ±4,07 Δ	MD	0,13 ±5,56 Δ
0,10 ±2,16 Δ	TH	-0,05 ±3,34 Δ

Repetibilidad de los diferentes métodos evaluados de desviación VL y VP en jóvenes. (DM) Diferencia media, (CDR) Coeficiente ilidad en jóvenes. CT = Cover test, VG = Von Graefe, MD = varilla x, TH = Thorington modificado.

Concordancia en Jóvenes

TEST / DM ± CDC			
LEJOS		CERCA	
CT - VG	-0,26 ±3,88 Δ	CT - VG	-1,21 ±4,04 Δ
CT - MD	1,00 ±5,22 Δ	CT - MD	-0,35 ±5,58 Δ
CT - TH	0,90 ±2,99 Δ	CT - TH	0,26 ±3,87 Δ
VG - MD	1,28 ±4,20 Δ	VG - MD	0,86 ±5,40 Δ
VG - TH	1,17 ±3,12 Δ	VG - TH	1,48 ±4,06 Δ
MD - TH	-0,10 ±3,40 Δ	MD - TH	0,61 ±3,91 Δ

Tabla 2. Repetibilidad de los diferentes métodos evaluados de desviación ocular en VL y VP en jóvenes. (DM) Diferencia media, (CDC) Coeficiente de concordancia en jóvenes. CT = Cover test, VG = Von Graefe, MD = varilla de Maddox, TH = Thorington modificado.

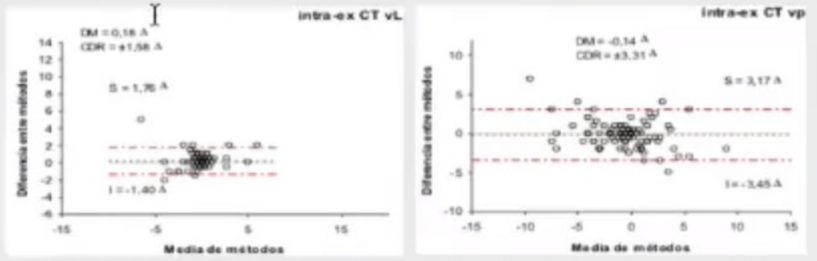


Figura 1. Muestra la diferencia media (DM), límites del intervalo de acuerdo al 95% de Bland y Altman, superior (S) e inferior (I) y coeficiente de repetibilidad (CDR) intraexaminador (intra-ex) para la medida de la desviación ocular en visión lejana en una población de jóvenes. CT = Cover test, VG = Von Graefe, MD = varilla de Maddox, TH = Thorington modificado

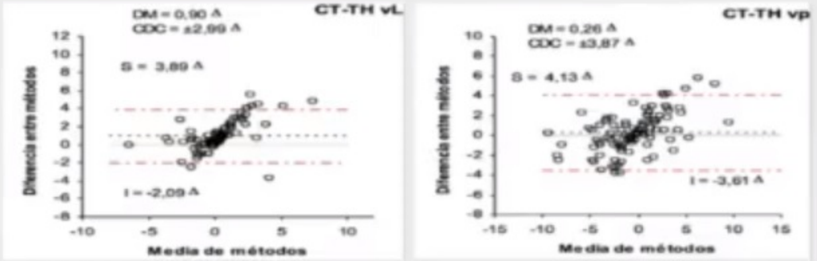


Figura 2. Gráficas de Bland y Altman. Concordancia entre métodos que miden la desviación horizontal en VL y VP en jóvenes. La línea discontinua negra representa la diferencia media (DM) entre las medidas obtenidas por los distintos métodos. Las líneas discontinuas indican los límites (S) e inferior (I) del intervalo de acuerdo al 95% (DM±1,96xDE). CT = Cover test, VG = Von Graefe

J

JOSE LUIS CEBRIAN LAFUENTE

TIEMPO DE REACCIÓN PUPILAR EN SUJETOS TRATADOS CON FÁRMACOS PSICOTRÓPICOS

Sara Gutiérrez Jorrín, Xabier Rodríguez Alonso, Cristina Bonnin Arias, Celia Sánchez-Ramos

saracagu@ucm.es

INTRODUCCIÓN

Las enfermedades psiquiátricas son aquellas que se producen por una desregulación del cerebro, produciendo una serie de síntomas biológicos, psicológicos y sociales. Estos trastornos se tratan con diferentes tipos de psicofármacos que tienen numerosos efectos sobre el sistema nervioso central.

Existen estudios en los que se utiliza el reflejo pupilar como posible indicador de patologías o alteraciones por su implicación con el sistema nervioso, entre las que destacan aquellas en las que se utiliza para determinar posibles trastornos psiquiátricos.

El reflejo fotomotor es el arco reflejo responsable de la contracción de la pupila del ojo en respuesta a un aumento de la cantidad de luz. Este reflejo está mediado por el sistema nervioso vegetativo, cuya función es asegurar que entre en el ojo la cantidad óptima de luz para una visión adecuada, evitando el deslumbramiento.

OBJETIVO

Conocer las diferencias entre pacientes tratados con psicótropos y personas sin tratamiento en los tiempos de reacción pupilar ante un estímulo de luz b[illegible] pupilometría fotópica dinámica.



Figura 1: Ejemplo de toma de medidas utilizando el Keratograph 5M

MUESTRA

La muestra estuvo compuesta por 68 voluntarios divididos en dos grupos. 37 de ellos diagnosticados de trastorno psiquiátrico y en tratamiento con psicofármacos (46±10 años), formaron el grupo de estudio. Los 31 sujetos restantes formaron el grupo control (52±17 años). El tiempo de latencia, contracción y redilatación pupilar se evaluó de forma monocular tras 5 estímulos de luz blanca utilizando el Keratograph 5M (Oculus Opikgeräte GmbH, Wetzlar, Alemania).

meet.google.com está compartiendo tu pantalla. Dejar de compartir Ocultar



SALA E - PhDAY-FOO (PÓSTER) (2020-10-15 at 08:04 GMT-7)

Póster Esther Mármol VF.pdf

Archivo | C:/Users/manue/Documents/ESTHER/Póster%20Esther%20Mármol%20VF.pdf

No sincronizando

YouTube Maps Gmail

¿Quiere establecer Microsoft Edge como su explorador predeterminado? Establecer como predeterminado

2 de 2 Lectura en voz alta Dibujar Resaltar Borrar

Resultados

Un 36,99% de los niños presentó valores normales en todas las pruebas de la función acomodativa, mientras que un 63,1% de los mismos presentó sospecha de anomalía acomodativa, repartiéndose este porcentaje según se muestra en la figura 1.

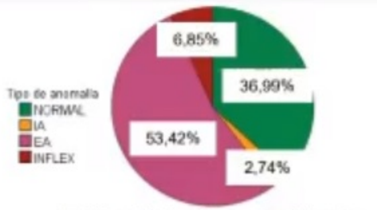
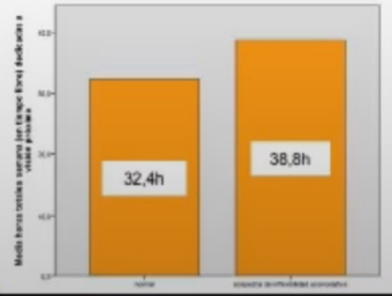


Fig.1. Porcentaje de sujetos que presentaban valores acomodativos normales frente a aquellos que presentaban sospecha de anomalía acomodativa (insuficiencia, exceso o inflexibilidad)

Respecto a la variable "distancia de trabajo" no hubo diferencias estadísticamente significativas ($p > 0,05$) entre los grupos constituidos por sujetos con habilidades acomodativas normales o aquellos que presentaron sospecha de anomalía acomodativa.



Respecto a la variable número de horas de trabajo en visión próxima se encontró que los sujetos que presentaban valores fuera de la norma en FAM, dedicaban una media de 6,4 horas semanales más (al margen del colegio) a tareas en VP ($p=0,03$).

Conclusiones

1. Se ha encontrado una alta prevalencia (63,1%) de sospecha de anomalía acomodativa en una población no clínica de niños que estudiaban segundo curso de ESO, siendo la sospecha de exceso acomodativo la condición más prevalente con un 53,4%.

2. No se ha encontrado relación entre los problemas acomodativos y la distancia de trabajo empleada en VP para las distintas tareas evaluadas (lectura, escritura y utilización del móvil).

3. La variable "número de horas de trabajo dedicadas a tareas en visión próxima" parece tener repercusión sobre la función acomodativa, más concretamente sobre la prueba que evalúa la flexibilidad de enfoque.

Bibliografía

[1] Velázquez Ramírez, R. (2016). Efectos de lentes positivas y prismas verticales en pacientes con trabajo prolongado en visión próxima.

[2] Sterling, E., Chase, C., Tosha, C. and Ridder, W. (2009). Longitudinal Study of Visual Discomfort Symptoms in College Students. Optometry and Vision Science, 86(10), pp.992-999.

[3] Rennie, R., Gothenstedt, M. and Sjostrom, A. (2006). Accommodation and the relationship to subjective symptoms with near work for young school children. Ophthalmic and Physiological Optics, 26(2), pp.148-155.

[4] García-Muñoz, Á., Carbonell-Bonete, S. and Cacho-Martínez, P. (2014). Symptomatology associated with accommodative and binocular vision anomalies. Journal of Optometry, 7(4), pp.179-188.

[5] Gwiazda, J., Thorn, F., & Held, R. (2005). Accommodation, accommodative convergence, and response AC/A ratios before and at the onset of myopia in children. Optometry and Vision Science, 82(4), 273-278.

E

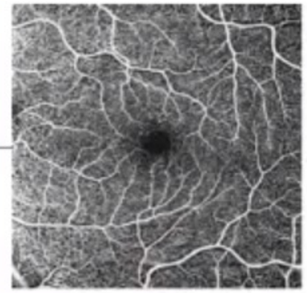
ESTHER MARIA MARMOL ERRASTI

16:21 / 36:33

Pulsa Esc para salir del modo de pantalla completa

Métodos

- Estudio transversal comparativo con 3 grupos diagnósticos.
- Se realizó un cálculo de tamaño muestral con resultado de 60 pacientes por grupo.
- Se realiza la toma de imágenes mediante OCTA (Cirrus HD-OCT 5000, Carl Zeiss):
  - Cubo 3x3mm y 6x6mm a nivel macular.
  - Cubo 4,5x4,5mm en nervio óptico.
- Se realizan retinografías a color y filtro verde (Visucam 524, Carl Zeiss).
- Se analiza la zona avascular foveal (ZAF) y la densidad de vasos en todos los pacientes.



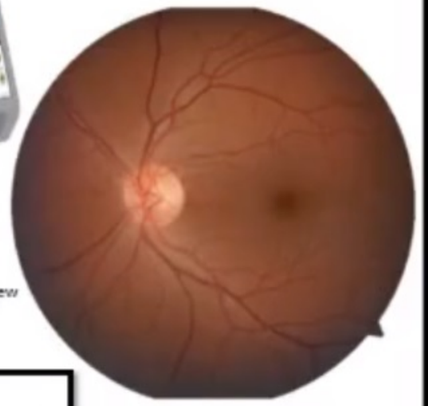
Resultados

Estudio en fase de reclutamiento

Conclusión

Pendiente de análisis de los datos





Referencias:

1. Williams R, Airey M, Baxter H, Forrester J, Kennedy-Martin T, Girach A. Epidemiology of diabetic retinopathy and macular oedema: A systematic review. Eye. 2004;18(10):963–83.
2. Li Z, Alzogool M, Xiao J, Zhang S, Zeng P, Lan Y. Optical coherence tomography angiography findings of neurovascular changes in type 2 diabetes mellitus patients without clinical diabetic retinopathy. Acta Diabetol [Internet]. 2018;0(0):0. Available from: http://dx.doi.org/10.1007/s00592-018-1202-3
3. Kashani AH, Chen C-L, Gahm JK, Zheng F, Richter GM, Rosenfeld PJ, et al. Optical coherence tomography angiography: A comprehensive review of current methods and clinical applications. Prog Retin Eye Res [Internet]. 2017 Sep;60:66–100. Available from: http://www.embase.com/search/results?subaction=viewrecord&from=export&id=L618025620

+Visión · OCUPHARM · PRATS

meet.google.com está compartiendo tu pantalla. Dejar de compartir Ocultar

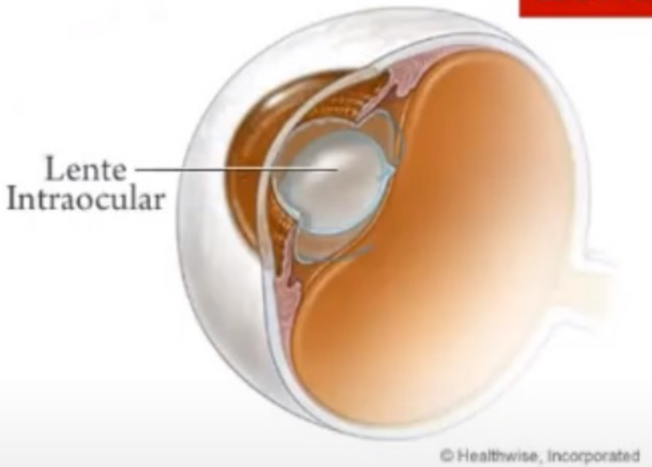



SALA E - PhDAY-FOO (PÓSTER) (2020-10-15 at 08:04 GMT-7)
10:04 / 36:33

FACULTAD DE ÓPTICA Y OPTOMETRÍA
UNIVERSIDAD COMPLUTENSE DE MADRID

Introducción

Lentes intraoculares:



- ✓Monofocales VL
  Buena calidad visual
- ✓Multifocales Refractivas y difractivas
  Varias distancias
  Fenómenos disfotópsicos[4]
- ✓EDOF Nueva tecnología
  VL y de forma continua hasta VI[5]

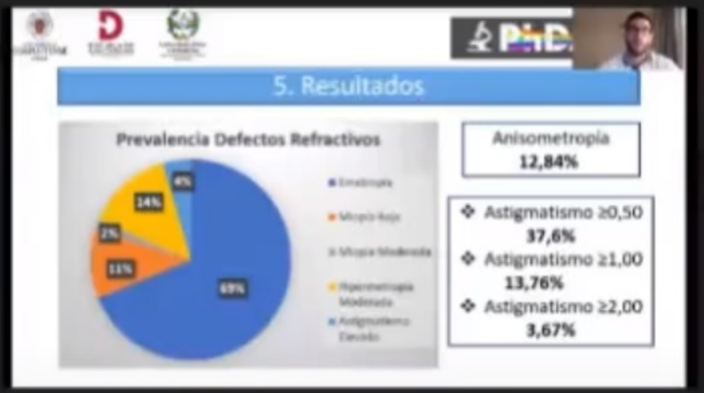
4. Pedrotti, E., et al. *Comparative analysis of visual outcomes with 4 intraocular lenses: Monofocal, multifocal, and extended range of vision.* J Cataract Refract Surg. 2018; 44(2): p. 156-167.



SALA F - PhDAY-FOO (ORAL 2) (2020-10-15 at 08:44 GMT-7)

2 - Oliveros López, Juan - Oral.mp4

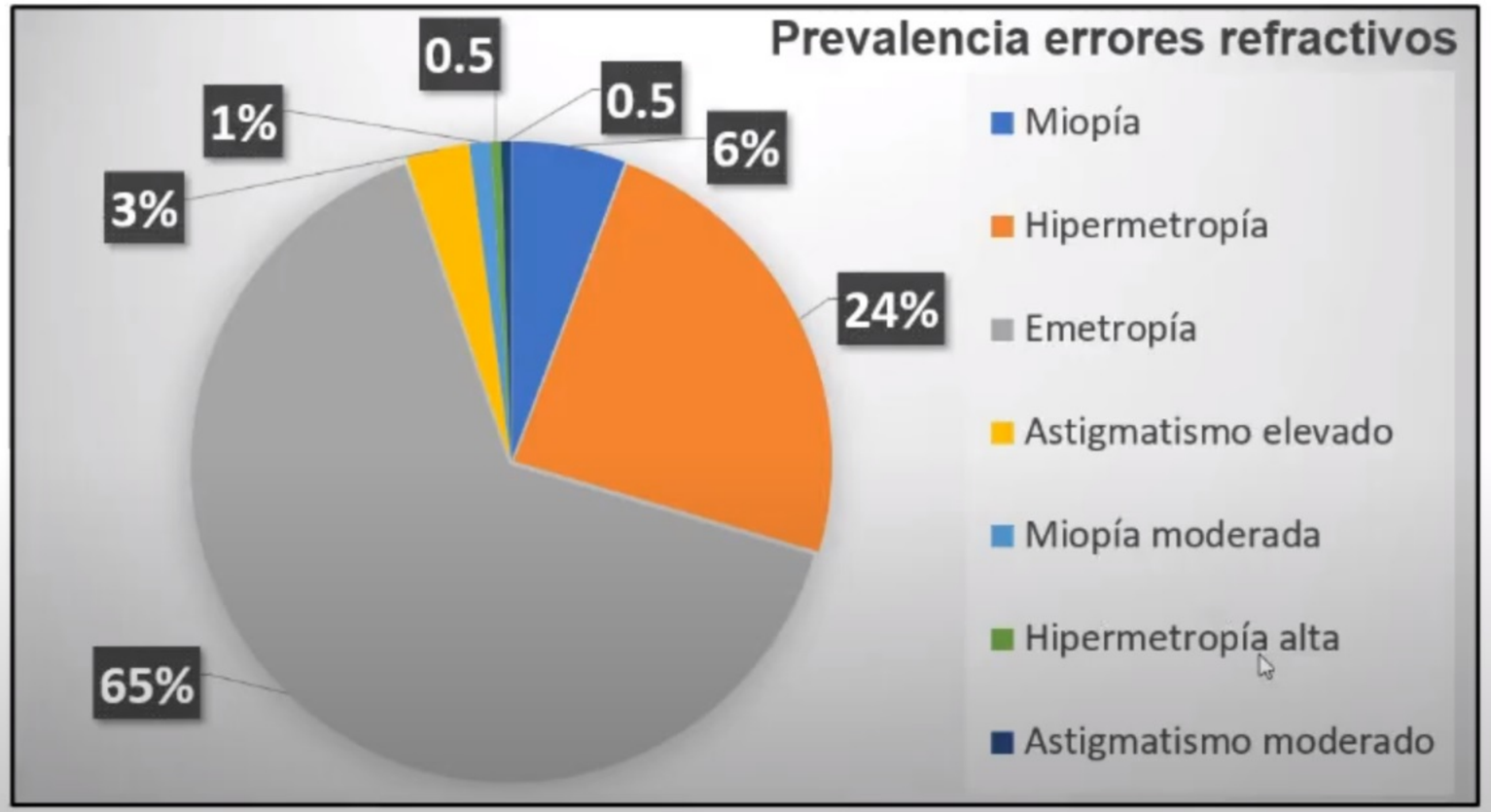
Abrir con CloudConvert





38:05 / 1:05:44

6º de Primaria



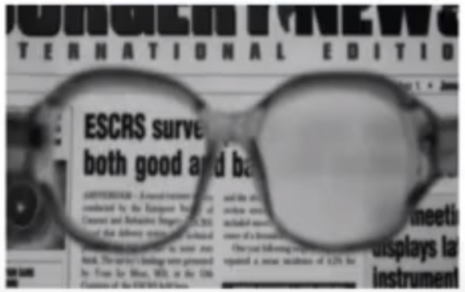
N

NADIUSKA CRISTINE PLATERO ALVARADO


NADIUSKA CRISTINE PLATERO ALVARADO


SALA F - PhDAY-FOO (ORAL 2) (2020-10-15 at 08:44 GMT-7)
MARINA MERCEDES MOLINA SANTOS
11:16 / 1:05:44





Bangerter (2 líneas < AV NDM) en ojo DOM

2 horas dia, 6 días semana, 30 horas

↓

Se repetían las pruebas de visión

Dead and Buried



Gunjack



Videollamadas controlar la terapia





Ojo sano?



Necesitan gafas?





daptación de Lentes de Contacto y gafas de visión deportiva



Musculos de los ojos sanos?
Ambos ojos trabajan en sincronía=visión binocular



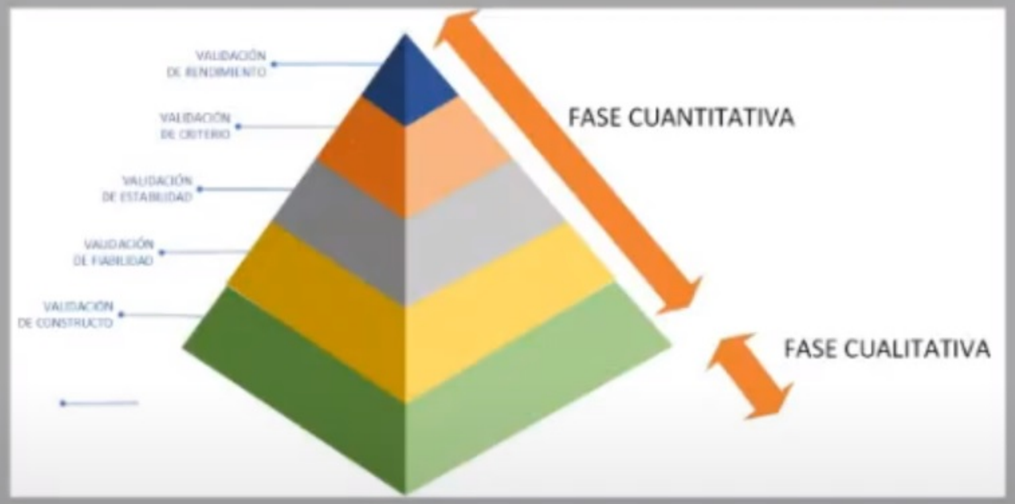
Graham, 2018. Optimizing Visual Performance for Sport, Advances in ophtalmology and Optometry.



SALA H - PhDAY-FOO (ORAL 2) (2020-10-15 at 08:44 GMT-7)

CISSve-R2 - PhDay - 14 oct 2020

VALIDACIÓN





31:49 / 47:14


SALA H - PhDAY-FOO (ORAL 2) (2020-10-15 at 08:44 GMT-7)
MARIA JESUS PEREZ GARRASCO
43:24 / 47:14

conf invitada y clausura.mp4



Estoy terminando mi doctorado
¿Y ahora qué?

Laura Rico del Viejo, PhD

PhDAY 2020

0:27

0:31 / 51:40

FINALISTAS

1er PREMIO

A LA INFLUENCIA CIENTÍFICA EN LAS REDES SOCIALES

PHDAY FOO 2020

ONLINE



SANDRA MEDRANO MUÑOZ — 682



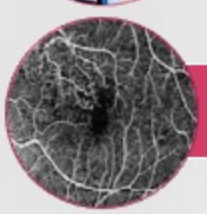
MARTA GARCÍA ROJO — 551



RAQUEL CALDERÓN GARCÍA — 508



IRENE MARTÍNEZ ALBERQUILLA — 450



NADIA MÍNGUEZ-CARO — 295

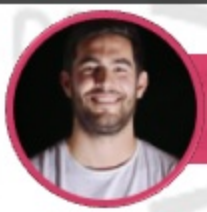
FINALISTAS

2er PREMIO

A LA INFLUENCIA CIENTÍFICA EN LAS REDES SOCIALES

PhDAY! 2020

ONLINE



JUAN OLIVEROS LÓPEZ



JÚLIA BODAS ROMERO



WAEL H ALMALKI



IRENE MARTÍNEZ ALBERQUILLA



RAQUEL CALDERÓN GARCÍA

ESCUELA DE DOCTORADO
UNIVERSIDAD COMPLUTENSE DE MADRID

JURADO DEL 4º PhDAY-FOO 2020

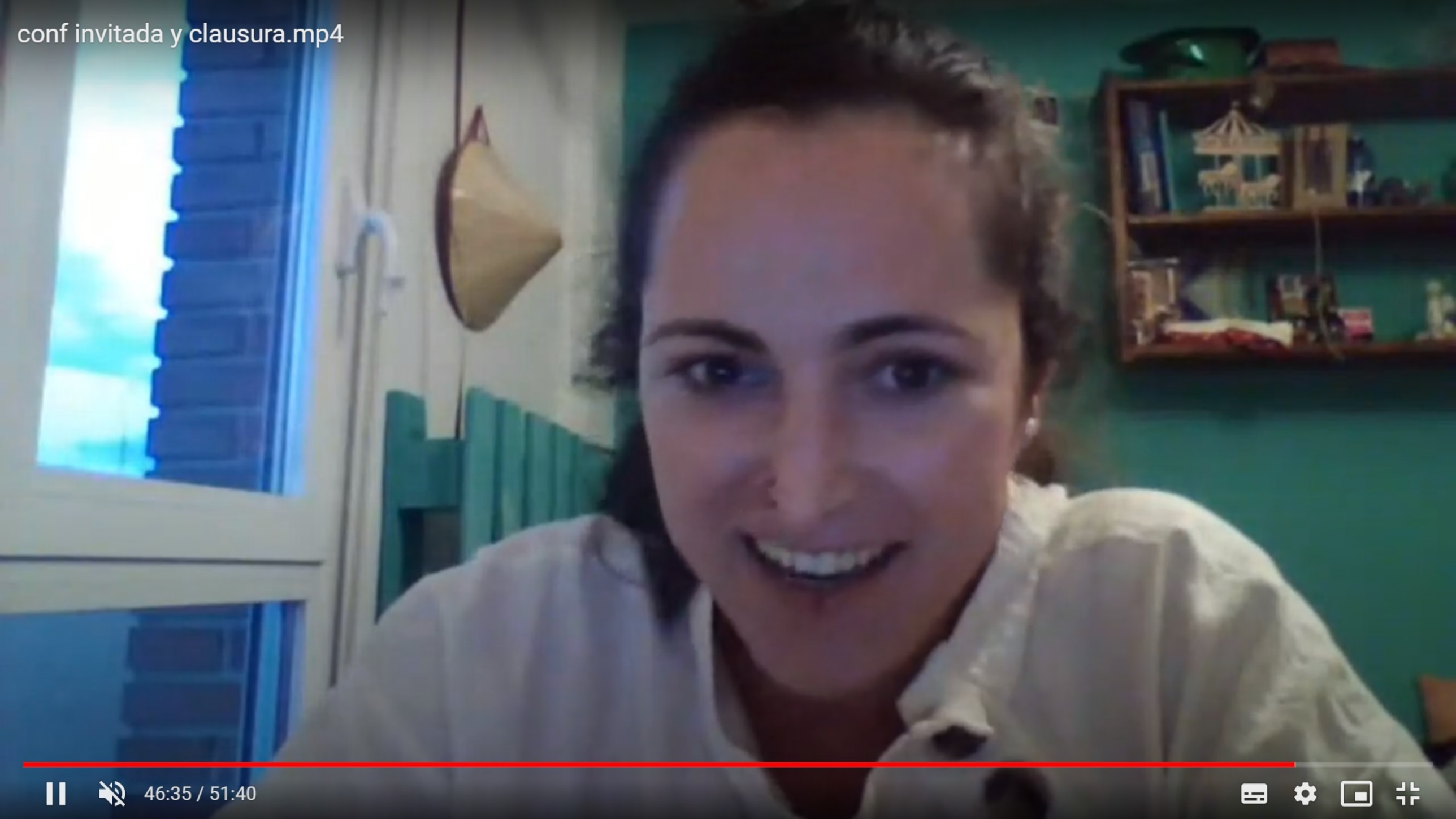
Facultad de Óptica y Optometría (UCM)

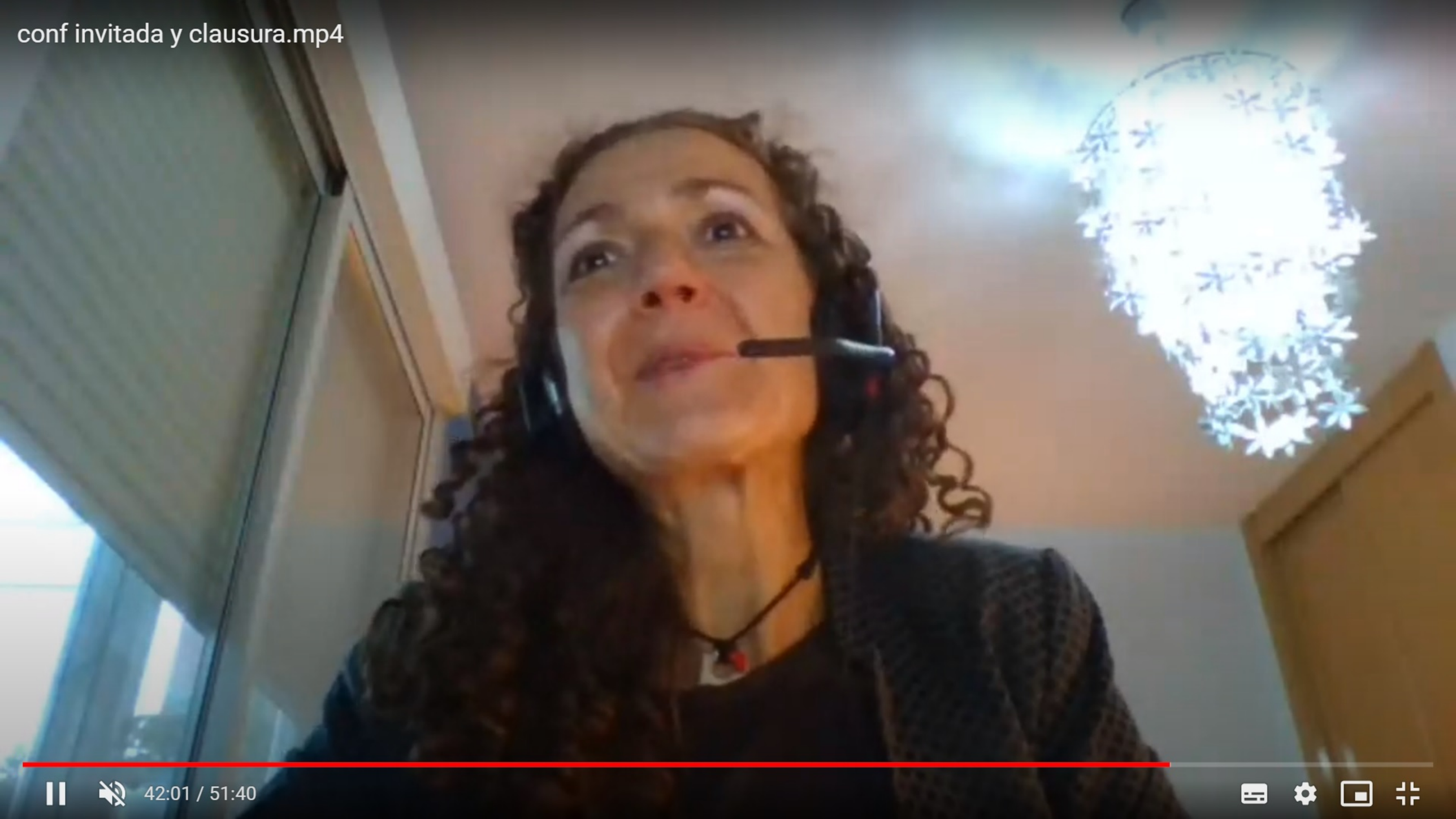
ACTA DE CONCESIÓN DE PREMIOS

PONENCIAS ORALES Y PÓSTER

PRIMER PREMIO ORAL: 500€
IGALLA EL-YOUSSFI, ASMAE
ACCÉSIT 1 ORAL: 250€
LLEDÓ MAYANS, VICTORIA EUGENIA
ACCÉSIT 2 ORAL: 250€
SERRAMITO BLANCO, MARIA
PREMIO PÓSTER 1: 100€
XABIER RODRIGUEZ ALONSO
PREMIO PÓSTER 2: 100€
CANDELA RODRÍGUEZ POMAR


conf invitada y clausura.mp4
30:59 / 51:40


conf invitada y clausura.mp4
46:35 / 51:40


conf invitada y clausura.mp4
42:01 / 51:40